

九州大学 工学部 正 山内豊聡・巻内勝彦  
学 〇美濃 彰・赤星哲也

1. まえがき 繰返し荷重下の土の力学的性質の変化過程を明らかにすることは、実際的な問題、例えば走行荷重下の路床路盤、機械基礎、風荷重を受ける鉄塔基礎などの設計に直接関係があるとともに、土の種類や土構造に関連して、土粒子の変形メカニズムを解明する上での基本的な問題としても重要である。本文では、平面ひずみ状態におかれた締固め粘土供試体について繰返し回数に応じた三次元的内部応力状態の変化過程と変形の進行を測定し、主に拘束応力、繰返しせん断応力および繰返し回数の影響について報告する。

2. 実験の概要 2-1 実験装置 繰返し単純せん断試験装置のせん断箱部分を図-1に示す。図-2は  $\varepsilon_x = \varepsilon_y = 0, \sigma_x = \sigma_y = 0$  の単純せん断応力状態を示す。一定鉛直応力と繰返しせん断応力  $\tau_{xy}$  の応力制御空気圧載荷方式によって加圧される。供試体側面の垂直応力成分  $\sigma_{xx}, \sigma_{yy}, \sigma_{zz}$  およびひずみ成分  $\varepsilon_x, \varepsilon_y, \varepsilon_z$  は記録計、マイクロコンピュータに直結してデータ解析する。

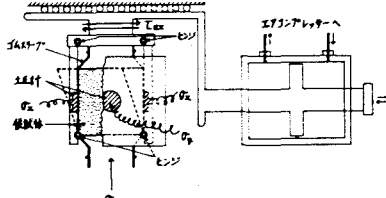


図-1 繰返し単純せん断試験装置の概要

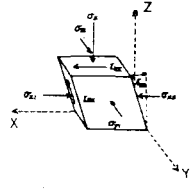


図-2 供試体応力状態

2-2 供試体 実験試料として白色粘土(カオリン, Gc-20)を用いた均質供試体を得るため上下アランジヤーの貫入量を等しくする静的締固めで立方供試体(70立方)を作製した。供試体初期状態は標準締固めの湿潤剛を平均含水比35%、乾燥密度1.35 g/cm<sup>3</sup>とした。供試体の締固め方向の違いにより、静的力学的特性に異方向性が現れる。この方向関係が本文では図-3に示す締固め方向と繰返しせん断応力方向の組合せについて報告する。

2-3 実験方法 締固めた供試体をゴムスリーブでシールし、セット後、 $\sigma_z = 1.0, 2.5, 4.0$  kg/cm<sup>2</sup>と5分圧密させる(過圧密状態)。次に  $\tau_{xy} = \pm 0.31, 0.40, 0.47$  kg/cm<sup>2</sup>と載荷させた(非排水条件)。周波数は0.5 Hz(擬矩形波載荷回数  $N \leq 1000$ )とした。



図-3 締固め方向と繰返しせん断方向の関係

3. 実験結果および考察 供試体は図-2のように  $\tau_{xy}$  と繰返して受ける。ある  $N$  (本文では  $N = 1, 100$ ) において供試体内に発生する応力ひずみ状態(ピーク値)を完全な形で表示するため、(1)三次元モール円(実線円は主応力主ひずみ円、破線円は  $\sigma_{xx}, \sigma_{yy}, \sigma_{zz}$  円、圧縮側は正)、(2)中間主応力ひずみパラメーター  $\beta = (2\sigma_2 - \sigma_1 - \sigma_3) / (\sigma_1 - \sigma_3)$ ,  $\eta = (2\varepsilon_2 - \varepsilon_1 - \varepsilon_3) / (\varepsilon_1 - \varepsilon_3)$ , (3)せん断応力ひずみ曲線(正負はせん断方向の反転を示す)を用い、それぞれ以下に考察する。なお以下の図中の(a)~(d)の応力条件は表-1の通りである。

表-1 応力条件 (単位: kg/cm<sup>2</sup>)

	$\sigma_z$	$\tau_{xy}$
(a)	2.50	$\pm 0.31$
(b)	2.50	$\pm 0.40$
(c)	2.50	$\pm 0.47$
(d)	1.00	$\pm 0.31$

3-1 応力状態の変化 図-4の(a)~(c)と比較すると、 $N$ が増えた場合 ( $N = 100$ )、応力円は右へ移行し(平均主応力増大)、かつやや小円となる。その傾向は  $\tau_{xy}$  が高いほど顕著である。これは後述のように繰返しにより供試体の密度の増加と土構造の変化が生じ、それと同時に側面応力  $\sigma_{xx}, \sigma_{yy}$  が次第に増加していくためである。図-4(d)についても同様の傾向がみられる。 $N = 1$ つまり繰返し初期においては(a)~(c)の応力円に顕著な差はみられない。したがって  $\tau_{xy}$  の大きさは  $N$  とともに内部応力状態に影響を及ぼす因子であることがわかる。このような応力論だけでは、 $\tau_{xy}$  は一見供試体の強度安定に寄与するようだが、ひずみの急激な増大(後述)とせん断抵抗力の減少(円縮小)を考えると、逆に強度低下の傾向にあることがわかる。

3-2 ひずみ状態の変化 (1)  $\tau_{xy}$  の影響 図-5の(a)~(c)のひずみ円から、 $\tau_{xy}$  が大きい程せん断変形が大きくなる(ひずみ円が大きくなり、負の主ひずみ  $-\varepsilon_3$ )も増大する。また  $N$  による影響も大きいことがわかる。 $N = 1$  においては、ひずみ円の中心はほぼ原点(体積変化ゼロ)に近いが、一般に  $N$  が増大すると供試体は体積収縮(密度増加、ひずみ円は右方へ移行)となる。(2)  $\sigma_z$  の影響 図-5の(a)と(d)と比較すると、 $\sigma_z$  が高い(a)が体積圧縮効果が大きいひずみ円は  $N$  とともに圧縮側へ動く。ここで図-4(a,b)の応力円はほぼ相似形であるが、図-5(a,b)のひずみ円は相似形とならず、図-2のような供試体の場合、応力 ( $\sigma_z$ ) 依存に

よる異方性(土構造の変化)の発達の差異がみえる。なお図-5(d)のひずみ円は、(c)図に類似の変形状態であるので、例えは応力比( $E_3$ )の影響が大きいことを示唆している。3-3 ひずみの変化 図-4の(b)~(d)の応力円では、 $T$ と $N$ の増加にもなるとは大きくなる。一方(a)は $N$ とともに小さくなる。これは(a)では $\sigma_2 = \sigma_3$ のため、(b)~(d)の $\sigma_2 = \sigma_3 \rightarrow \sigma_2 < \sigma_3$ とは応力状態が異なることと、また $T_{max}$ 比較的低い $N$ の増大にも拘らず、 $\sigma_2 \approx \sigma_3 (\sigma_2 > \sigma_3)$ に $K_0$ 状態に近く、供試体の初期土構造の応力による収縮は少ないと考えられる。その結果が3-2のひずみ円の差異となり、理解するといえる。特に図-5(a)では $N$ とともに負のひずみ( $-E_3$ )は正側に变化する $\sigma_3$ が特徴的である。図-5の $N=1$ でのひずみ円はいずれも $\epsilon_2 \approx 0$ 、 $E_3 \approx -E_1$ であるが、 $N=100$ では、 $E_3$ の増加速度が( $-E_3$ )より

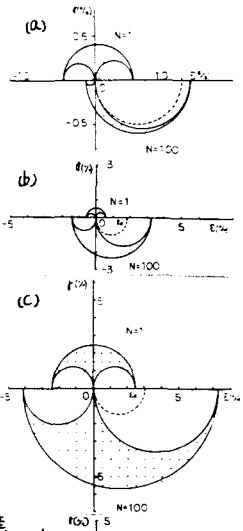
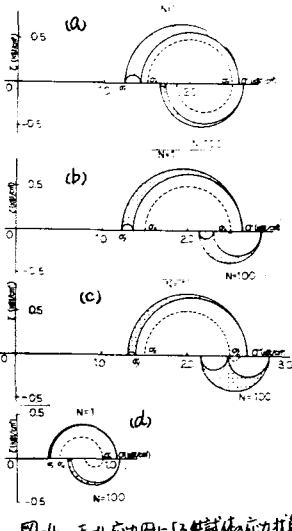


図4 モール応力円による供試体の応力状態

図5 モールひずみ円による供試体のひずみ状態

大きく、円は右へ移行し、 $\epsilon_3$ は減少する。図-4と図-5より、応力円とひずみ円には幾何学的相似性がみえない。そこで図-6に $\epsilon_3$ と $\epsilon_1$ の関係を示すと $N=1 \rightarrow 100$ にかけて、対応1:1線の上に近づく傾向がうかがえる。すなわち供試体は $N$ の増加について、応力依存による土構造の変化をもたらす、応力状態に対応するひずみ状態になると考えられる。3-4 せん断応力-ひずみ関係の変化 図-7に $T_{max}$ と $\epsilon_{2x}$ の関係を示している。図-7(a)~(c)より $T_{max}$ が増大するとヒステリシスループの勾配は緩やかになる。すなわち割線せん断剛性率( $G = T_{max}/\epsilon_{2x}$ )は減少する。 $T_{max}$ 小さい場合(図-7(a)),  $N$ によるループの変化は僅少で、図-5(a)のひずみ円にみるようにひずみは極めて小さく、内部に発生する伸張ひずみ( $-E_3$ )は減少するので密度は高くなり、供試体の土構造は安定するといえる。一方図-7(b),(c)のように $T_{max}$ が大きくなるにつれて、 $N$ による影響が顕著に現われ、 $-E_3$ も増大し、土粒子間の結合は弛緩するため、せん断変形が大きくなり、ループは横に広がる。 $T_{max}$ が同じ(a),(d)では、 $\sigma_2$ がせん断変形に与える影響が顕著であることがわかる。

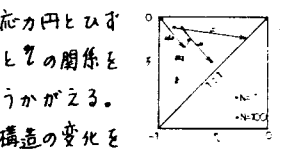


図6  $\epsilon_3$ と $\epsilon_1$ の関係

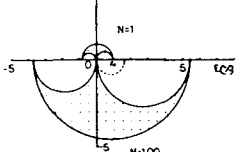


図7 応力-ひずみ関係

4.あとがき 以上締めめにカオリン粘土の繰返し単純せん断試験を行い、結果を要約すると、(1)三次元モール円で表示した応力状態とひずみ状態はそれぞれ繰返し応力下で応力によるその変化の傾向を異にすることがわかった。土の力学的性質の変化を考慮する場合には、両者を併用することが必要である。(2)拘束応力 $\sigma_2$ 、繰返しせん断応力 $T_{max}$ は、ともに応力状態ひずみ状態の変化に影響する。また $\sigma_2$ の大きさはヒステリシスループに著しい影響を及ぼす。(3)繰返しせん断により、一般に供試体の密度は高くなる傾向がある。しかし一定以上のせん断応力の増大はせん断変形を大きくし、せん断剛性率を低下させることがわかった。

参考文献  
D山内・荻内・美濃(1980):単純せん断試験機による異方性粘性土の変形特性, 第35回土木学会年次学術講演要集, Ⅱ pp.47-48.